

Диссертация
на соискание академической степени магистра
по направлению 15.04.03 «Прикладная механика»

Моделирование распространения фронтов химических реакций в деформируемых телах

Выполнила: студентка группы 63602/4 Петренко С.Е.

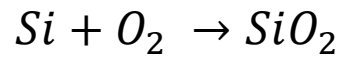
Научный руководитель: Проф., д.ф.-м.н. Фрейдин А.Б.

Санкт-Петербург, 2017

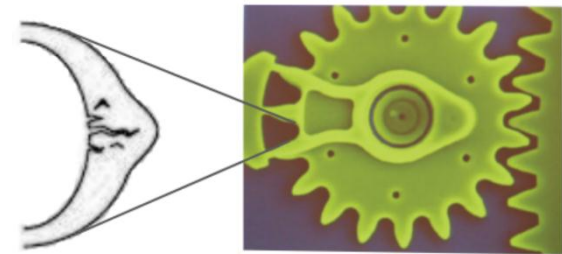
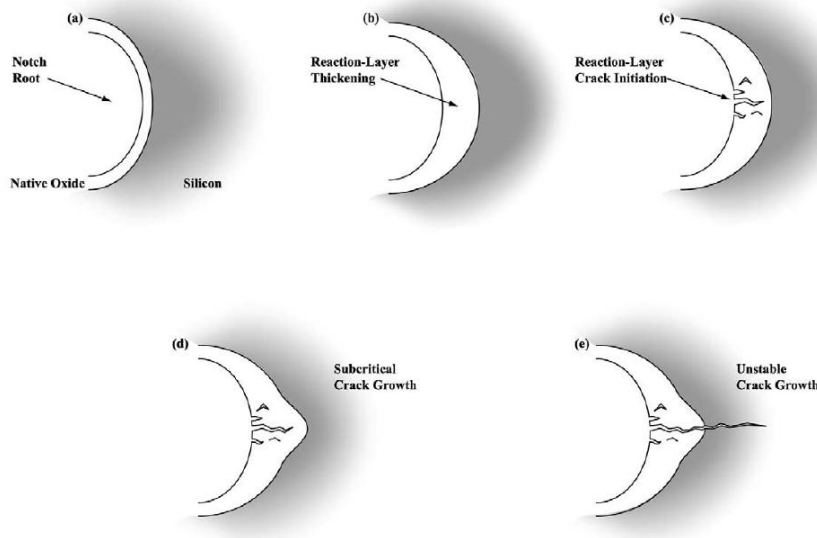
Актуальность проблемы

Механохимия. Связанные задачи описания химических и механических процессов.

MEMS: многоцикловая усталость кремниевых шестеренок



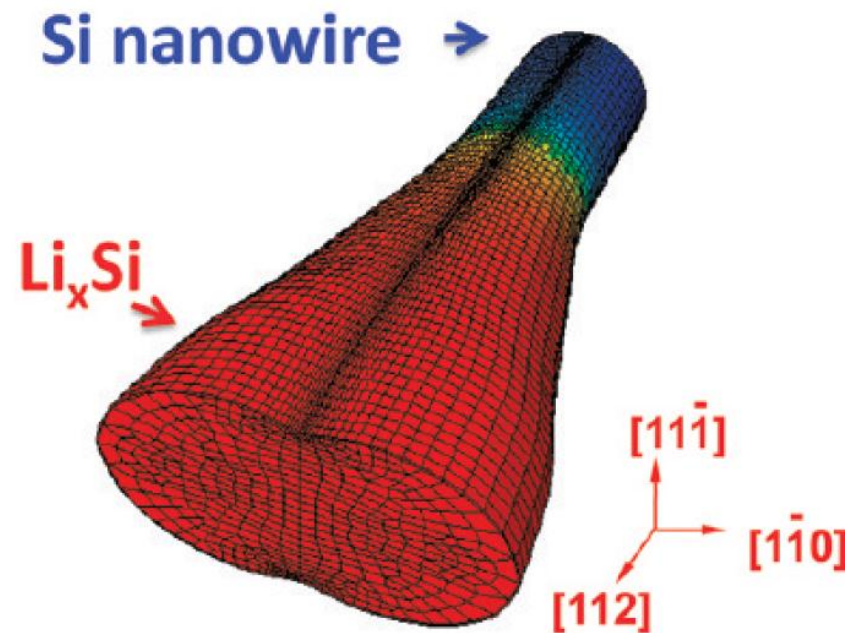
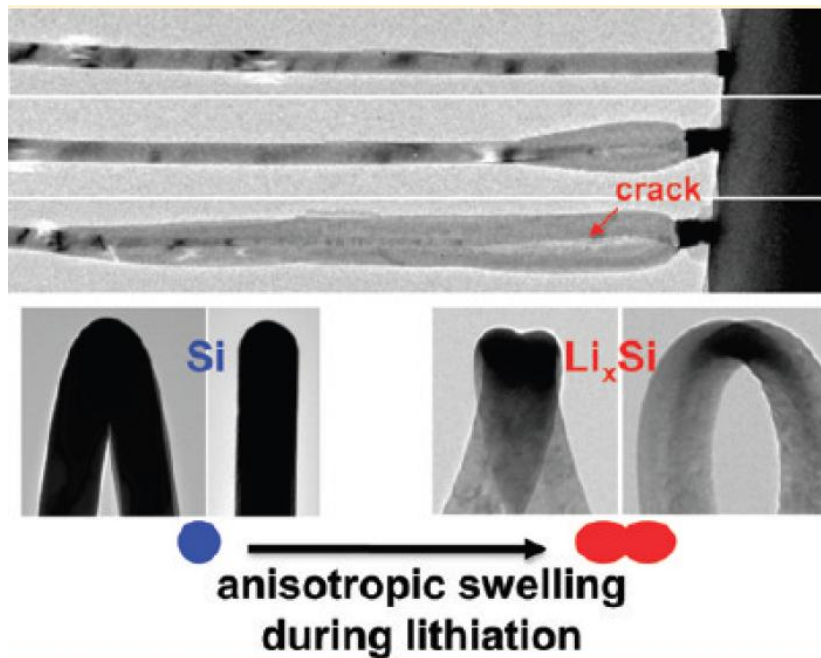
Interface SiO_2/Si



Эксперимент: Muhlstein et al (2001, 2002, ...)

Актуальность проблемы

Разбухание кремниевых нанопроволок в процессе литизации



X.H. Liu et al. Anisotropic Swelling and Fracture of Silicon Nanowires during Lithiation, Nano Letters, 2011

Цели работы

Постановка и решение связанных задач механохимии для неупругих продуктов реакции

1) Плоский фронт реакции в зажатой пластине для:

- линейного вязко-упругого превращенного материала, описываемого моделью Максвелла
- линейно вязкого превращенного материала
- линейного вязко-упругого превращенного материала, описываемого моделью Кельвина-Фойгта

2) Плоский фронт химической реакции в свободной пластине для линейно вязкого превращенного материала

3) Сферический фронт химической реакции для:

- линейно вязкого превращенного материала
- линейного вязко-упругого превращенного материала, описываемого моделью Кельвина-Фойгта

4) Распространение сферического фронта химической реакции для упруго-пластического превращенного материала

Модели реакций, контролируемых диффузией

Уравнение диффузии, напр., $\Delta c = 0$

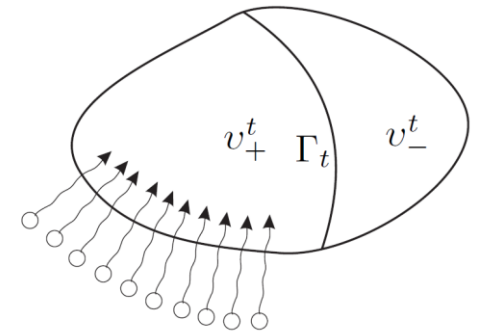
$$D \frac{\partial c}{\partial N} \Big|_{\Omega} - \alpha (c_* - c(\Omega)) = 0 \text{ на внешней поверхности тела}$$

$$D \frac{\partial c}{\partial N} \Big|_{\Gamma} + k_* \omega(\Gamma) = 0 \text{ на фронте химической реакции}$$

D – коэффициент диффузии

α – коэффициент переноса, c_* – растворимость B_* в B_+

ω – скорость реакции



Модели:

- Deal-Groove – модель окисления (1965) – плоский фронт реакции, без напряжений
- Као et al. 1987. Напряжения влияют через $D = D(\sigma)$, $\kappa = \kappa(\sigma)$
- Дополнительные слагаемые в уравнении диффузии (J. Toribio, A.G. Knyazeva,...)

Влияние напряжений на скорость реакции через влияние на диффузию

Химическое сродство

Производство энтропии: $TP[S] = A\omega \geq 0$, где ω – скорость реакции

$$A = - \sum n_i M_i \mu_i$$

- химическое сродство, M_i - молярная масса i -ой компоненты; μ_i - химический потенциал i -ой компоненты; n_i - стехиометрический коэффициент

Кинетическое уравнение (Пригожин И., Дефей Р., 1954) $\omega = \omega(A)$, $\omega(0) = 0$

$$\omega = \vec{\omega} \left(1 - \exp \left(- \frac{A}{RT} \right) \right), W_N = \frac{n_- M_-}{\rho_-} \omega_N$$

Фрейдин А.Б.: Напряжения влияют на скорость реакции через тензор химического сродства

$$A_{NN} = \frac{n_- M_-}{\rho_-} \left(\gamma(T) + \frac{1}{2} \varepsilon_- : C_- : \varepsilon_- - \frac{1}{2} (\varepsilon_+ - \varepsilon_{tr}) : C_+ : (\varepsilon_+ - \varepsilon_{tr}) + \sigma_- : [\varepsilon] \right) + n_* RT \ln \frac{c}{c_*}$$

Скорость реакции на площадке с нормалью N

$$W_N = \frac{n_- M_-}{\rho_-} k_* c \left(1 - \exp \left(- \frac{A_{NN}}{RT} \right) \right)$$

В деформируемом теле реакция идет не в точках, а на ориентированных площадках \Rightarrow тензор химического сродства

Фрейдин А.Б. О тензоре химического сродства при химических реакциях в деформируемых материалах. МТТ. 2014

Freidin A., On chemical reaction fronts in nonlinear elastic solids, 2009

Распространение плоского фронта химической реакции зажатой пластине. Вязко-упругий превращенный материал

$$\varepsilon_z = 0$$

$$\sigma_y = 0, \sigma_{xy} = 0$$

$$\boldsymbol{\sigma} = \sigma \mathbf{E} + \mathbf{S}; \quad \boldsymbol{\varepsilon} = \frac{\vartheta}{3} \mathbf{E} + \mathbf{e}$$

$$\sigma^+ = k^+ (\vartheta^+ - \vartheta^{tr})$$

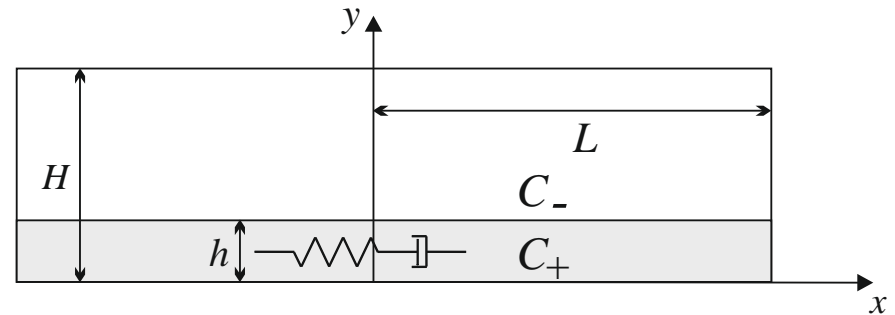
$$\sigma^- = k^- \vartheta^-$$

Модель Максвелла:

$$\mathbf{S}^+ = \mathbf{S}^{el} = \mathbf{S}^\eta, \quad \mathbf{S}^{el} = 2\mu^+ \mathbf{e}^{el}, \quad \mathbf{S}^\eta = 2\eta \dot{\mathbf{e}}^\eta$$

$$\mathbf{e}^+ = \mathbf{e}^{el} + \mathbf{e}^\eta$$

$$\mathbf{S}^- = 2\mu^- \mathbf{e}^-$$



Плоский фронт реакции в зажатой пластине. Модель Максвелла

Нормальная компонента тензора химического сродства:

$$A_{NN} = \frac{n_- M_-}{\rho_-} \left(\gamma + \frac{E_-}{2(1 - \nu_-^2)} \varepsilon_0^2 - \frac{k^+}{2} (\vartheta^+ - \vartheta^{tr})^2 - \right. \\ \left. - \mu^+ \left((e_x^e)^2 + (e_y^e)^2 + (e_z^e)^2 \right) \right) + n_* RT \ln \left(\frac{c_{eq}}{c_*} \right)$$

Критическое значение параметра γ :

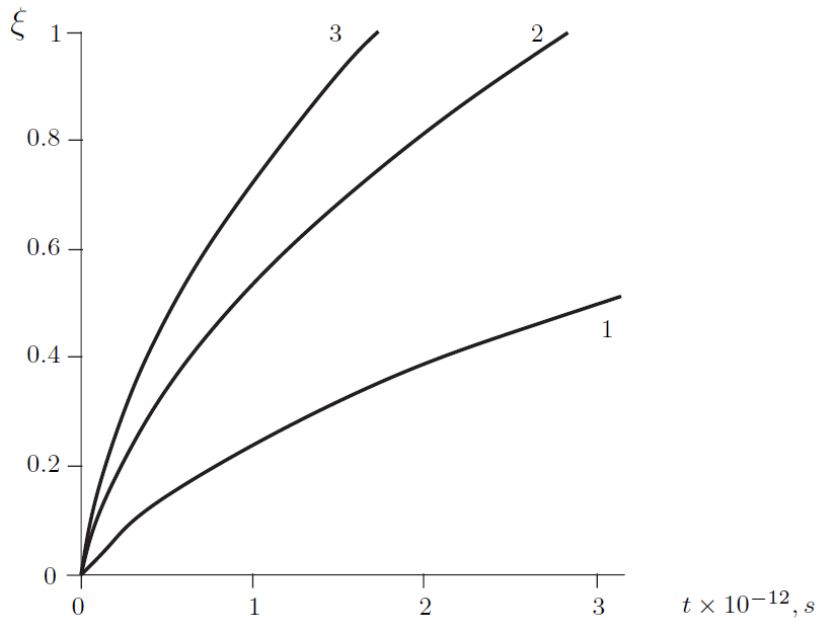
$$\gamma_* = \frac{\mu^+ k^+ (\vartheta^{tr})^2 (8\mu^+ + 13k^+)}{2(4\mu^+ + 3k^+)^2}$$

Кинетика фронта реакции:

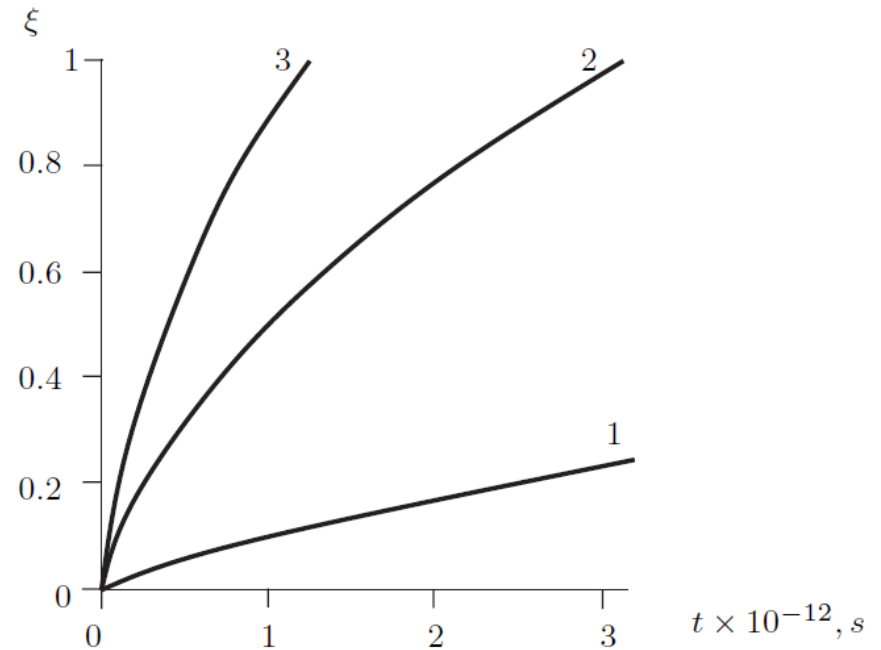
$$\xi = \frac{h}{H}$$

$$\frac{n_*^2 k_* H}{2D} \cdot \xi^2 + \left(1 + \frac{n_*^2 k_*}{\alpha} \right) \cdot \xi = \frac{n_- M_-}{\rho_-} \cdot \frac{k_* n_* c_*}{H} \left(1 - \exp \left(- \frac{n_- M_-}{\rho_-} + \right. \right. \\ \left. \left. + \frac{E_-}{2(1 - \nu_-^2)} \varepsilon_0^2 - \frac{k^+}{2} (\vartheta^+ - \vartheta^{tr})^2 - - \mu^+ \left((e_x^e)^2 + (e_y^e)^2 + (e_z^e)^2 \right) \right) \right) \cdot t$$

Зависимость кинетики фронта от величины внешней деформации и параметра γ

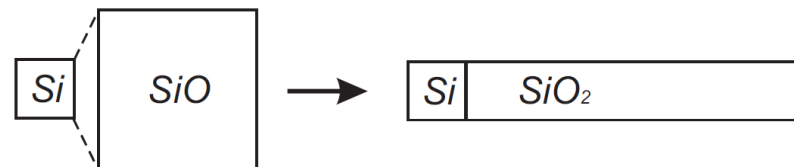
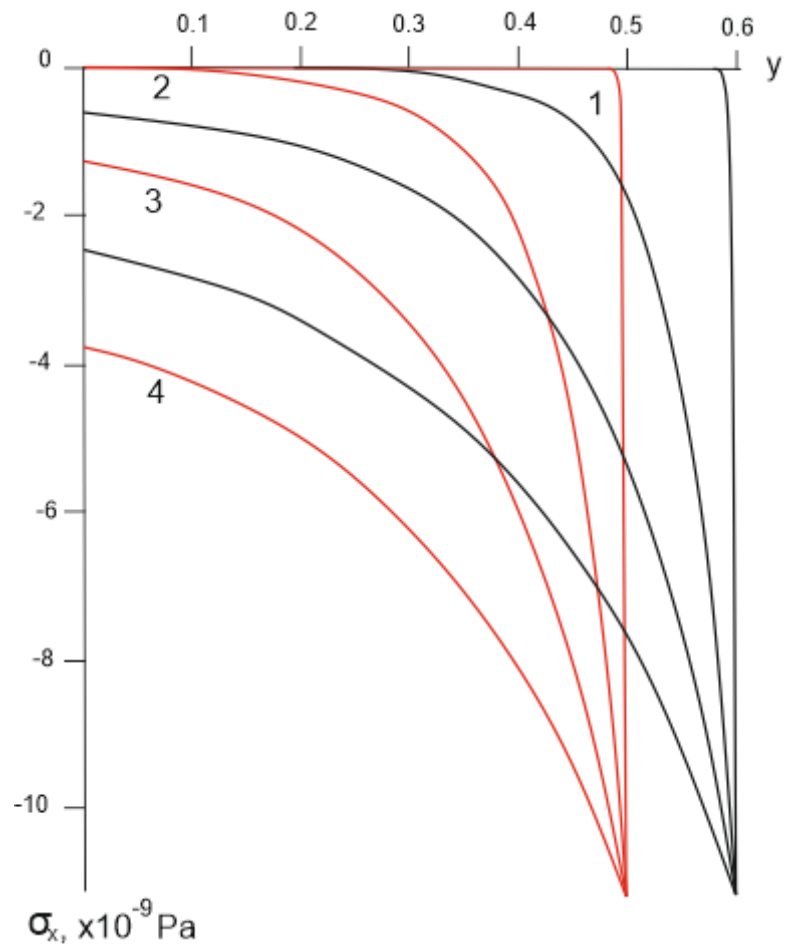


- 1 – $\varepsilon_0 = -0.01$
- 2 – $\varepsilon_0 = 0$
- 3 – $\varepsilon_0 = 0.01$
($\gamma = 1.1\gamma_*$)



- 1 – $\gamma = 1.1\gamma_*$
- 2 – $\gamma = 1.3\gamma_*$
- 3 – $\gamma = 1.6\gamma_*$
($\varepsilon_0 = 0$)

Релаксация напряжений позади фронта реакции



- 1 - $\eta = 10^{21} \text{ Pa} \cdot \text{s}$,
- 2 - $\eta = 2 \cdot 10^{22} \text{ Pa} \cdot \text{s}$,
- 3 - $\eta = 5 \cdot 10^{22} \text{ Pa} \cdot \text{s}$,
- 4 - $\eta = 10^{23} \text{ Pa} \cdot \text{s}$

$$\sigma_x^+(y, t) = \mu^+ \varepsilon_0 \exp\left\{-\frac{\mu^+}{\eta} (t - t_y)\right\} + \frac{3k^+ \mu^+ (3\varepsilon_0 - 2\vartheta^{tr})}{4\mu^+ + 3k^+} \exp\left\{-\frac{3k^+ \mu^+}{\eta(4\mu^+ + 3k^+)} (t - t_y)\right\}$$

t_y - момент времени, при котором $h(t_y) = y$

Химическое превращение упругого шара в случае упруго-пластического превращенного материала.

$$\boldsymbol{\sigma} = \sigma \mathbf{E} + \mathbf{S}; \quad \boldsymbol{\varepsilon} = \frac{\vartheta}{3} \mathbf{E} + \mathbf{e}$$

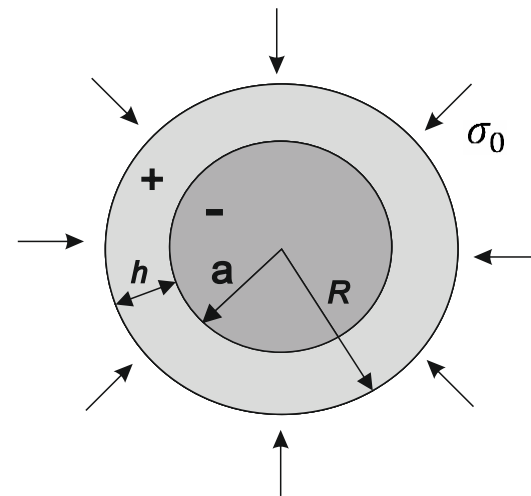
$$\sigma^+ = k^+ (\vartheta^+ - \vartheta^{tr})$$

$$\sigma^- = k^- \vartheta^-$$

$$\mathbf{S}^+ = 2\mu^+ \mathbf{e}^{el} = 2\mu^+ (\mathbf{e}^+ - \mathbf{e}^{pl})$$

$$\mathbf{e}^+ = \mathbf{e}^{el} + \mathbf{e}^{pl}$$

$$\mathbf{S}^- = 2\mu^- \mathbf{e}^-$$



$$\dot{\mathbf{e}}^+ = \dot{\mathbf{e}}^{el} + \dot{\mathbf{e}}^{pl} = \frac{\dot{s}^+}{2\mu^+} + \begin{cases} 0, & \text{если } |\sigma_r^+ - \sigma_\varphi^+| < \sigma_y \\ \dot{\lambda} \frac{\partial f}{\partial \boldsymbol{\sigma}^+}, & \text{если } |\sigma_r^+ - \sigma_\varphi^+| = \sigma_y \end{cases}$$

$$\frac{\partial \sigma_r}{\partial r} + 2 \frac{\sigma_r - \sigma_\varphi}{r} = 0$$

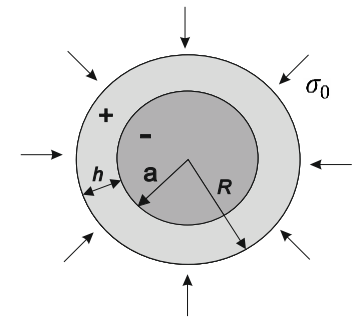
$$u^\pm = A^\pm r + \frac{B^\pm}{r^2}$$

Начальное упругое состояние ($\sigma_0 < \sigma_0^*$)

$$\boldsymbol{\sigma}^+ = \left(k^+(3A^+ - \vartheta^{tr}) - \frac{4\mu^+B^+}{r^3} \right) \mathbf{e}_r \mathbf{e}_r + \left(k^+(3A^+ - \vartheta^{tr}) + \frac{2\mu^+B^+}{r^3} \right) (\mathbf{E} - \mathbf{e}_r \mathbf{e}_r)$$

$$\boldsymbol{\varepsilon}^+ = \left(A^+ - \frac{2B^+}{r^3} \right) \mathbf{e}_r \mathbf{e}_r + \left(A^+ + \frac{B^+}{r^3} \right) (\mathbf{E} - \mathbf{e}_r \mathbf{e}_r)$$

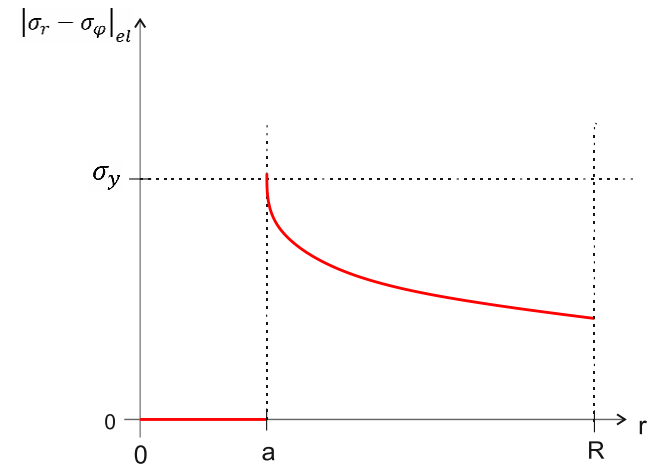
$$\boldsymbol{\sigma}^- = 3k^-A^- \mathbf{E}, \quad \boldsymbol{\varepsilon}^- = A^- \mathbf{E}$$



Интенсивность касательных напряжений:

$$|\sigma_r - \sigma_\phi| = 6\mu^+ \left| \frac{([k^{-1}]\sigma_0 + \vartheta^{tr})}{4\mu^+ [k^{-1}] + \frac{3 + \frac{4\mu^+}{(1-\xi)^3}}{k^-}} \right| \frac{1}{\varrho^3}$$

$$\varrho = \frac{r}{R}$$



Упруго-пластическое состояние ($\sigma_0^* < \sigma_0 < \sigma_0^{**}$)

Упругий регион: ($a < \zeta < r < R$)

$$\boldsymbol{\sigma}^{el} = \left(\sigma_0 + \frac{2}{3} \sigma_y \zeta^3 \left(\frac{1}{r^3} - \frac{1}{R^3} \right) \right) \mathbf{e}_r \mathbf{e}_r + \left(\sigma_0 - \frac{1}{3} \sigma_y \zeta^3 \left(\frac{1}{r^3} + \frac{2}{R^3} \right) \right) (\mathbf{E} - \mathbf{e}_r \mathbf{e}_r)$$

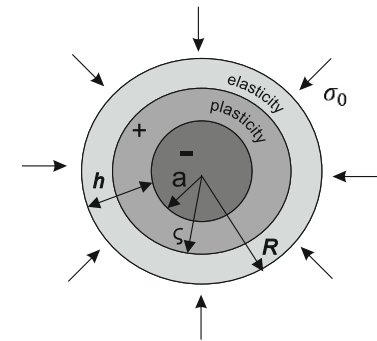
$$\boldsymbol{\varepsilon}^{el} = \left(\frac{\sigma_0 + k^+ \vartheta^{tr}}{3k^+} - \frac{\sigma_y \zeta^3}{3} \left(\frac{2}{3R^3 k^+} - \frac{1}{\mu^+} \right) \right) \mathbf{e}_r \mathbf{e}_r + \left(\frac{\sigma_0 + k^+ \vartheta^{tr}}{3k^+} - \frac{\sigma_y \zeta^3}{9} \left(\frac{2}{R^3 k^+} - \frac{1}{2\mu^+} \right) \right) (\mathbf{E} - \mathbf{e}_r \mathbf{e}_r)$$

Пластичный регион: ($a < r < \zeta$)

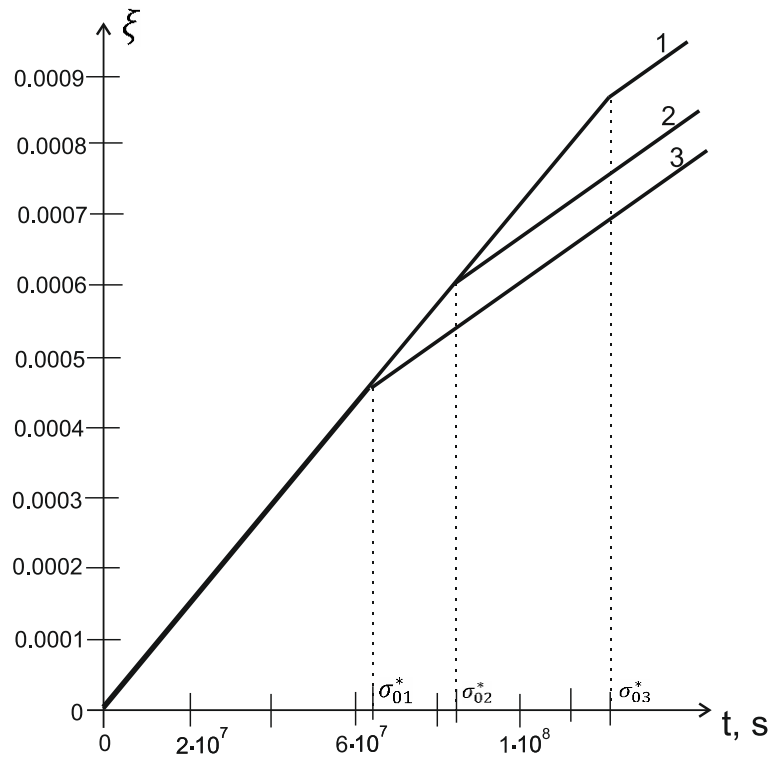
$$\boldsymbol{\sigma}^{pl} = \left(\sigma_0 - \sigma_y \left(\ln \frac{r}{\zeta} - \frac{2}{3} \left(1 - \frac{\zeta^3}{R^3} \right) \right) \right) \mathbf{e}_r \mathbf{e}_r + \left(\sigma_0 - \sigma_y \left(\ln \frac{r}{\zeta} + \frac{1}{3} \left(1 + \frac{2\zeta^3}{R^3} \right) \right) \right) (\mathbf{E} - \mathbf{e}_r \mathbf{e}_r)$$

$$\boldsymbol{\varepsilon}^{pl} = \frac{\sigma_y (3k^+ + 4\mu^+)}{6\mu^+ k^+} \left(\frac{\zeta^3}{r^3} - 1 \right) \boldsymbol{\alpha}$$

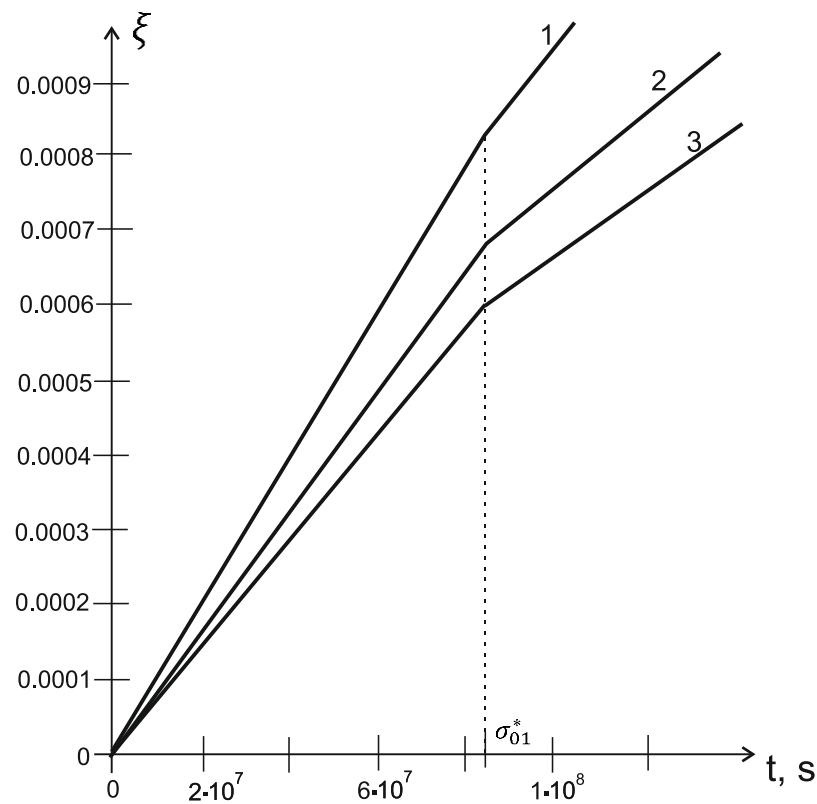
$$A_{NN} = \frac{n_- M_-}{\rho_-} \left(\gamma + \frac{9}{2} k^- (A^-)^2 - \frac{1}{6} \left(3\sigma_0 + 6\sigma_y \ln \left(\frac{\zeta}{R(1-\xi)} \right) - \frac{2\sigma_y \zeta^3}{R^3} \right)^2 - \right. \\ \left. - \frac{1}{2\mu^+} \left(\sigma_r^p \left(6\sigma_y \ln \left(\frac{\zeta}{R(1-\xi)} \right) + 3\sigma_0 - 3\sigma_y \left(1 + \frac{\zeta^3}{R^3} \right) \right) + 2\sigma_y^2 \right) + \right. \\ \left. + 3k^- A^- \left(\frac{3\sigma_r^p}{2\mu^+} - 3A^- - \frac{\sigma_y}{\mu^+} \right) \right) + n_* RT \ln \frac{c}{c_*}$$



Зависимость кинетики фронта химической реакции от интенсивности внешней нагрузки и от энергетического параметра в случае постоянной нагрузки

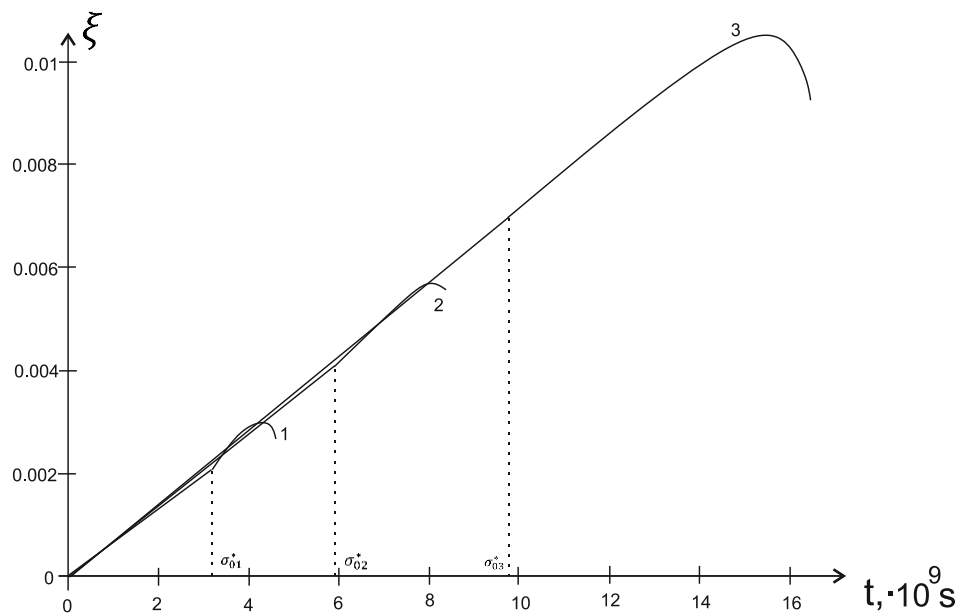
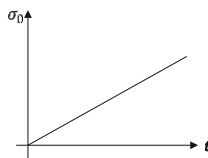


- 1 - $\sigma_0 = 50 \text{ Pa}$
- 2 - $\sigma_0 = 75 \text{ Pa}$
- 3 - $\sigma_0 = 100 \text{ Pa}$

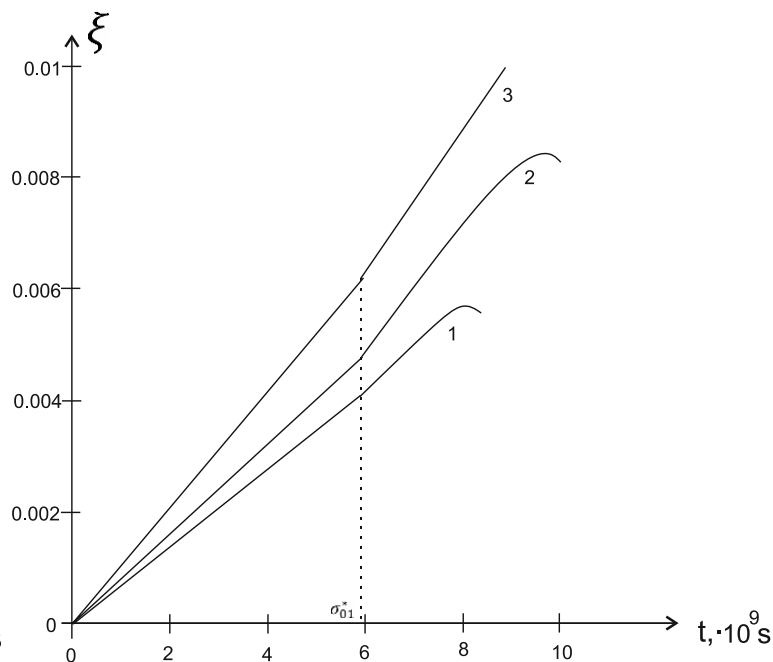


- 1 - $\gamma = 4 \cdot 10^9$
- 2 - $\gamma = 3 \cdot 10^9$
- 3 - $\gamma = 1.5 \cdot 10^9$

Зависимость кинетики фронта химической реакции от интенсивности внешней нагрузки и от энергетического параметра в случае изменяющейся со временем нагрузки



- 1 – $\sigma_0 = 100 \text{ Pa}$
- 2 – $\sigma_0 = 75 \text{ Pa}$
- 3 – $\sigma_0 = 50 \text{ Pa}$



- 1 – $\gamma = 1.5 \cdot 10^9$
- 2 – $\gamma = 3 \cdot 10^9$
- 3 – $\gamma = 4 \cdot 10^9$

Результаты.

Решены связанные задачи механохимии в постановке, основанной на понятии тензора химического сродства

1) Задача о распространении плоского фронта химической реакции в зажатой пластине для линейного вязко-упругого превращенного материала (модели Максвелла и Кельвина-Фойгта)

Показано, что:

- вязкость не влияет на кинетику фронта химической реакции, так как не влияет на напряжения на фронте, но влияет на релаксацию напряжений позади фронта реакции;
- исследовано влияние зависящего от температуры энергетического параметра γ на кинетику фронта реакции;
- внешние деформации могут ускорять, замедлять и блокировать реакцию;
- увеличение объемного модуля упругости превращенного материала замедляет распространение фронта химической реакции, а уменьшение – ускоряет;
- исследованы предельные случаи перехода от материала Максвелла к линейно-упругому и линейно-вязкому материалам;

Результаты

2) Задача о распространении плоского фронта химической реакции в свободной пластине для линейно вязкого превращенного материала.

Показано, что:

- В случае свободной пластины реакция протекает быстрее, чем в случае зажатой пластины;
- Вязкость влияет на кинетику фронта химической реакции и на релаксацию напряжений позади фронта реакции. Увеличение коэффициента вязкости приводит к замедлению реакции, и наоборот;
- Исследовано влияние внешних напряжений на кинетику фронта химической реакции. Показано, что растягивающие напряжения ускоряют реакцию, и наоборот;
- Исследовано влияние зависящего от температуры энергетического параметра γ на скорость химической реакции. Было продемонстрировано, что увеличение энергетического параметра ускоряет реакции, а уменьшение – замедляет реакцию.

Результаты

3) Задача о распространении сферического фронта химической реакции для линейного вязко-упругого превращенного материала Кельвина-Фойгта.

Показано, что:

- Вязкость влияет на кинетику фронта химической реакции. показано., что увеличение коэффициента вязкости приводит к замедлению реакции;
- Исследовано влияние внешнего напряжения на кинетику фронта реакции. Показано, что растягивающие напряжения – ускоряют реакцию, а сжимающие – замедляют;
- Исследовано влияние энергетического параметра γ на скорость химической реакции. Было показано, что увеличение параметра γ – ускоряет реакцию, а уменьшение γ – замедляет реакцию;
- Показано, что в случае превращенного материала, описываемого моделью Кельвина Фойгта, увеличение объемного модуля упругости превращенного материала приводит к замедлению реакции, и наоборот;

Результаты

4) Задача о распространении сферического фронта химической реакции в случае упруго-пластического превращенного материала для:

- постоянной внешней нагрузки
- линейно изменяющейся во времени внешней нагрузки.

Показано, что:

- Существует область статически допустимых напряжения для упруго-пластического состояния. Существует напряжение $\sigma_0^{(1)}$, меньше которого не будет пластичности нигде – будет только упругое состояние. Существует напряжение $\sigma_0^{(2)}$, больше которого нет статически допустимых напряжений;
- показано, что если пластичность начнется, то она начнется на фронте реакции;
- Исследовано как интенсивность внешней нагрузки влияет на кинетику фронта химической реакции и влияет на упруго-пластическое состояние;
- Исследовано как энергетический параметр γ влияет на распространение фронта химической реакции.

Апробация Работы

Статья:

- Freidin, A., Morozov, N., Petrenko, S., Vilchevskaya, E. Chemical reactions in spherically symmetric problems of mechanochemistry. Acta Mech., 2016, 227, 43-56

Личные доклады:

- С.Е. Петренко, А.Б. Фрейдin "Распространение фронтов химических реакций в упругих и вязко-упругих телах". Неделя науки СПбПУ 2015. Диплом 1 степени за доклад и тезисы в сборнике конференции
- Petrenko S., Freidin A., Spherically-symmetric problem of mechanochemistry with visco-elastic reaction product, p.94-95, Book of Abstracts, XLIV International Summer School-Conference 'Advanced Problems in Mechanics', St.Petersburg, Russia, 2016

Соавторство докладов на 3 международных конференциях

Золотая Медаль Российской Академии Наук с премией для студентов высших учебных заведений

Грант Правительства Санкт-Петербурга 2016, для студентов вузов, расположенных на территории Санкт-Петербурга

Спасибо за внимание.

Распространение плоского фронта химической реакции в случае вязкого превращенного материала в свободной пластине

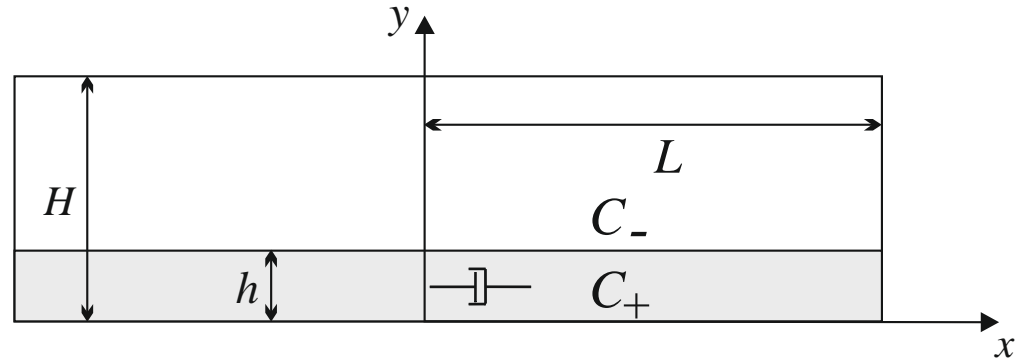
$$\sigma = \sigma E + S; \quad \varepsilon = \frac{\vartheta}{3} E + e$$

$$\sigma^+ = k^+ (\vartheta^+ - \vartheta^{tr})$$

$$\sigma^- = k^- \vartheta^-$$

$$S^+ = 2\eta e^+$$

$$S^- = 2\mu^- e^-$$



$$\varepsilon_z = 0$$

$$\sigma_y = 0, \quad \sigma_{xy} = 0$$

Гипотеза плоских сечений:

$$\varepsilon_x^\pm = a^\pm y + b^\pm$$

Граничные условия:

$$\int_0^h \sigma_x^+ dy + \int_h^h \sigma_x^- dy = H\sigma_0$$

$$\int_0^h \sigma_x^+ y dy + \int_h^h \sigma_x^- y dy = \frac{H^2 \sigma_0}{2}$$

Плоский фронт реакции в свободной пластине в случае вязкого превращенного материала

$$\dot{q}y + \dot{r} + \frac{3k^+}{4\eta}(qy + r) = \frac{3k^+}{2}(\dot{a}(y - h) - a\dot{h})$$

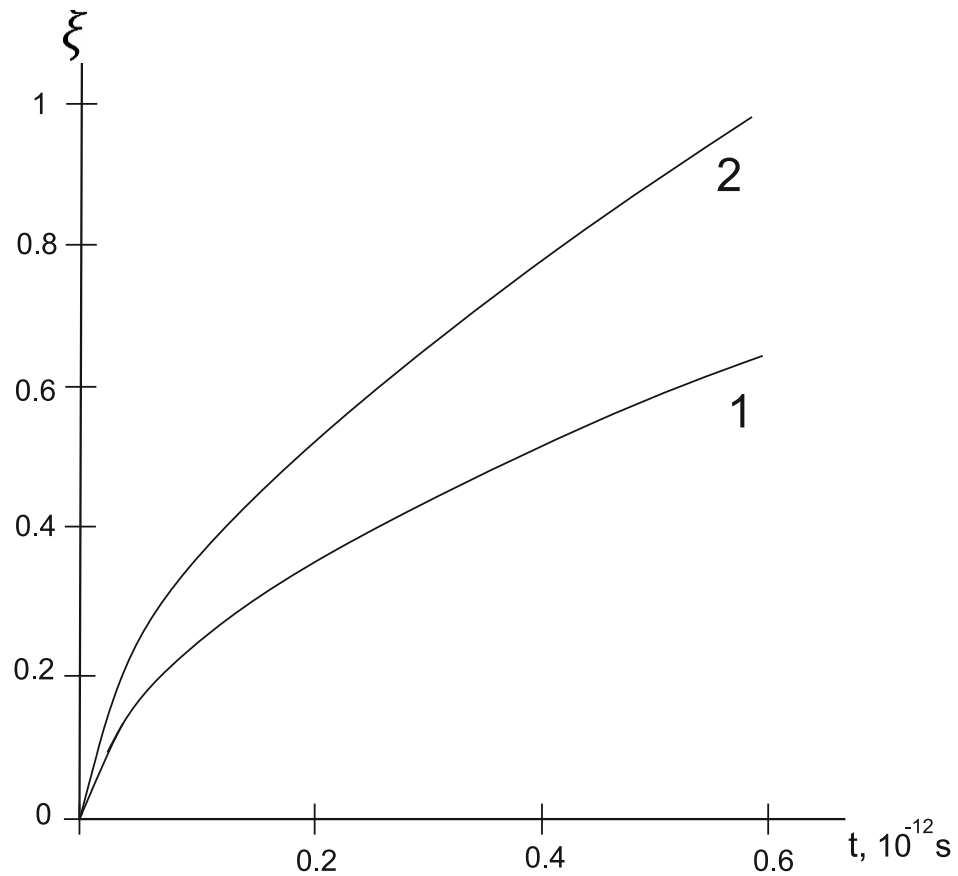
$$\dot{\vartheta}^+ + \frac{3k^+}{4\eta}(\vartheta^+ - \vartheta^{tr}) = \frac{3}{2}(\dot{a}(y - h) - a\dot{h})$$

$$\alpha \left(\frac{aH^2}{2} + \frac{ah^2}{2} - ahH \right) + \frac{qh^2}{4} + \frac{rh}{2} + \eta \left(-\frac{\dot{a}h^2}{2} - a\dot{h} \right) = H\sigma_0$$

$$\alpha \left(\frac{aH^3}{3} + \frac{ah^3}{6} - \frac{ahH^2}{2} \right) + \frac{qh^3}{6} + \frac{rh^2}{4} + \eta \left(-\frac{\dot{a}h^3}{6} - \frac{ah^2\dot{h}}{2} \right) = \frac{H^2\sigma_0}{2}$$

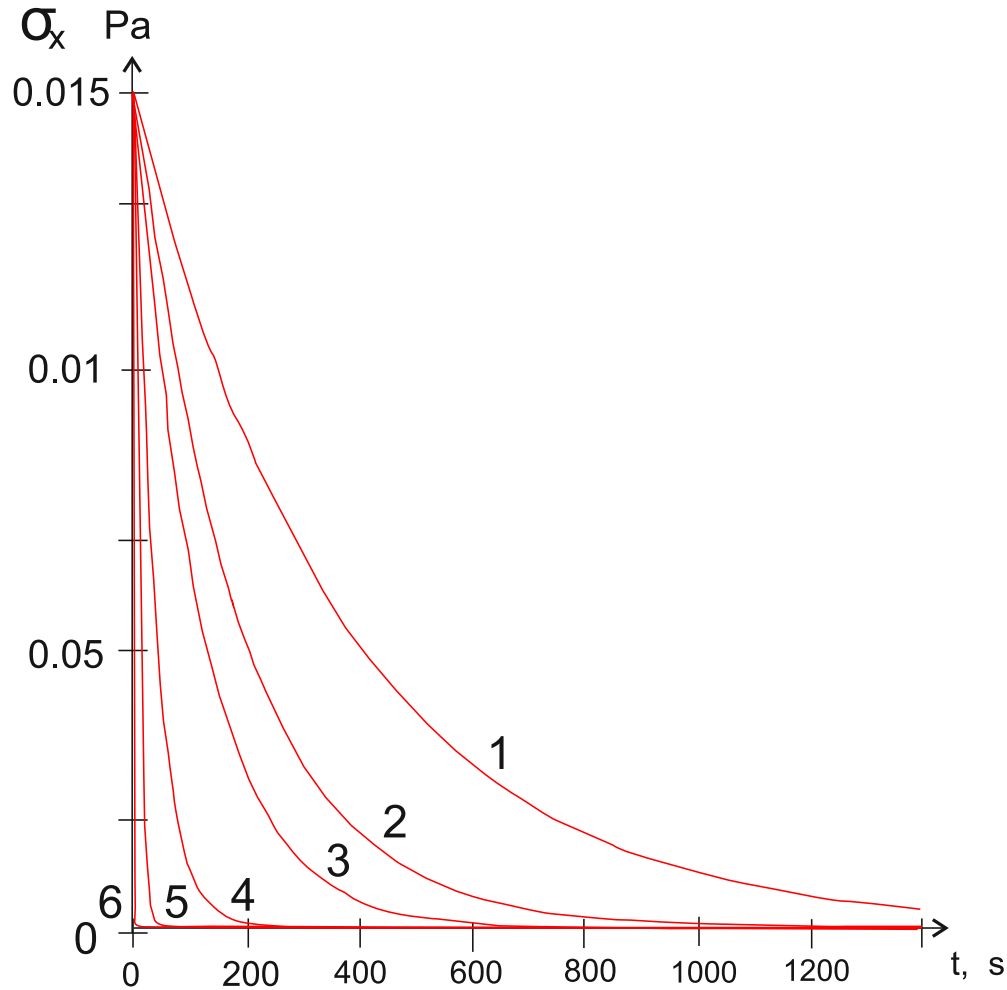
$$\dot{h} = \frac{n_- M_-}{\rho_-} \cdot \frac{k_* c_* n_*}{1 + n_*^2 k_* \left(\frac{h}{D} + \frac{1}{\alpha} \right)} \left(1 - \exp \left(-\frac{n_- M_-}{\rho_- n_* RT} \left(\gamma - \frac{k^+}{2} (\vartheta^+ - \vartheta^{tr})^2 \right) \right) \right)$$

Зависимость кинетики фронта химической реакции от типа граничных условий



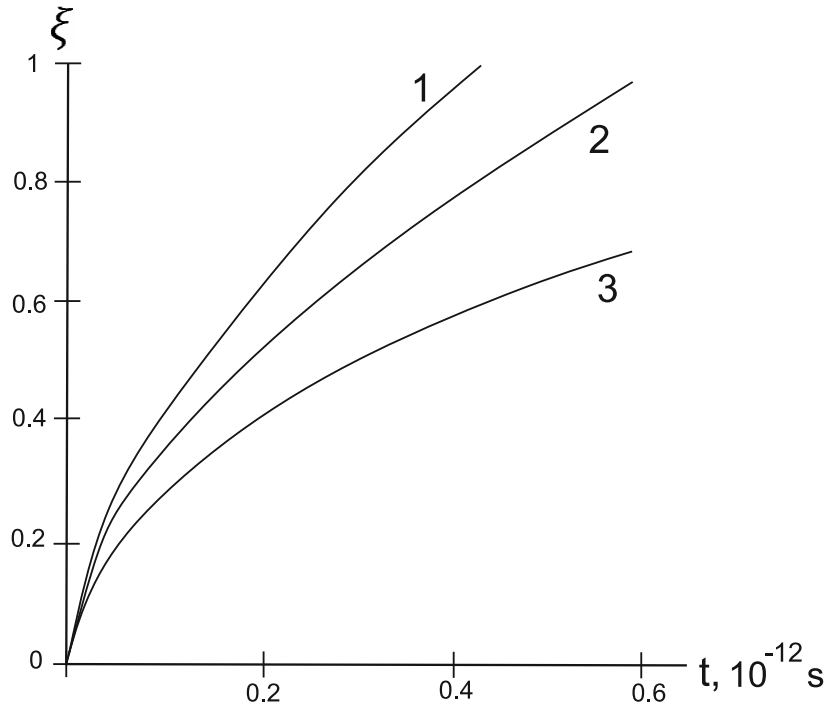
1 — $\sigma_0 = 0$
2 — $\varepsilon_0 = 0$

Релаксация напряжений позади фронта реакции в свободной пластине

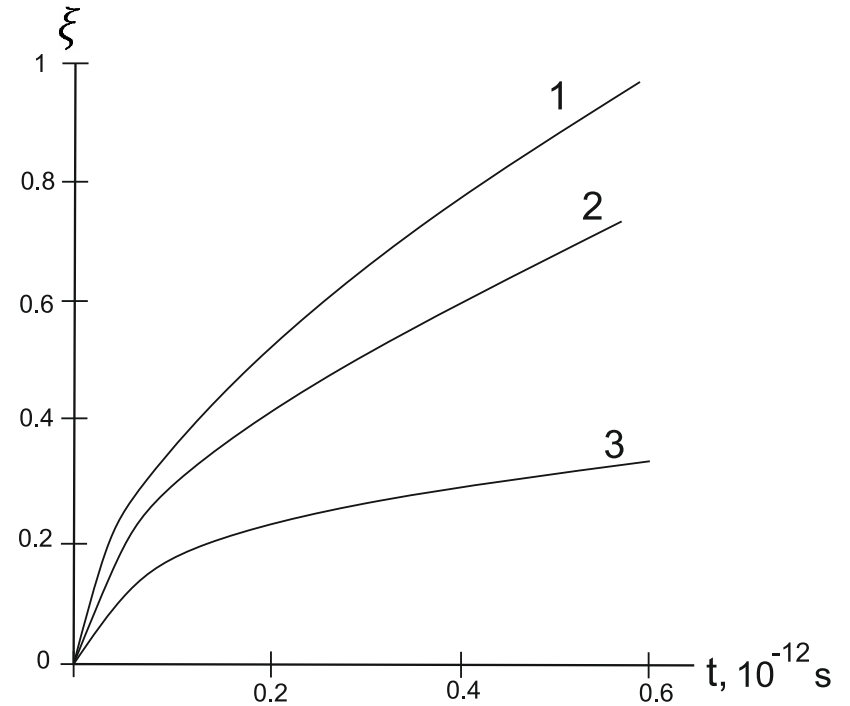


- 1 - $\eta = 2.5 \cdot 10^{12} Pa \cdot s,$
- 2 - $\eta = 1.5 \cdot 10^{12} Pa \cdot s,$
- 3 - $\eta = 5 \cdot 10^{11} Pa \cdot s,$
- 4 - $\eta = 10^{10} Pa \cdot s$
- 5 - $\eta = 10^9 Pa \cdot s$
- 6 - $\eta = 10^8 Pa \cdot s$

Зависимость кинетики фронта химической реакции от внешнего напряжения σ_0 и от коэффициента вязкости η



- 1 – $\sigma_0 = 10$ Pa
- 2 – $\sigma_0 = 0$ Pa
- 3 – $\sigma_0 = -10$ Pa



- 1 – $\eta = 10^8$ Pa·s
- 2 – $\eta = 10^{10}$ Pa·s
- 3 – $\eta = 10^{17}$ Pa·s

Распространение сферического фронта химической реакции в случае вязко-упругого превращенного материала. Модель Кельвина-Фойгта.

$$\sigma = \sigma E + S; \quad \varepsilon = \frac{\vartheta}{\rho} E + e$$

$$\sigma^+ = k^+ (\vartheta^+ - \vartheta^{tr^2})$$

$$\sigma^- = k^- \vartheta^-$$

$$S^+ = 2\eta \dot{e}^+ + 2\mu^+ e^+$$

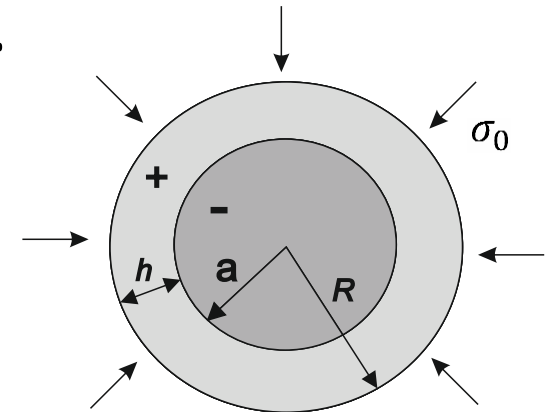
$$S^- = 2\mu^- e^-$$

Нормальная компонента тензора химического сродства:

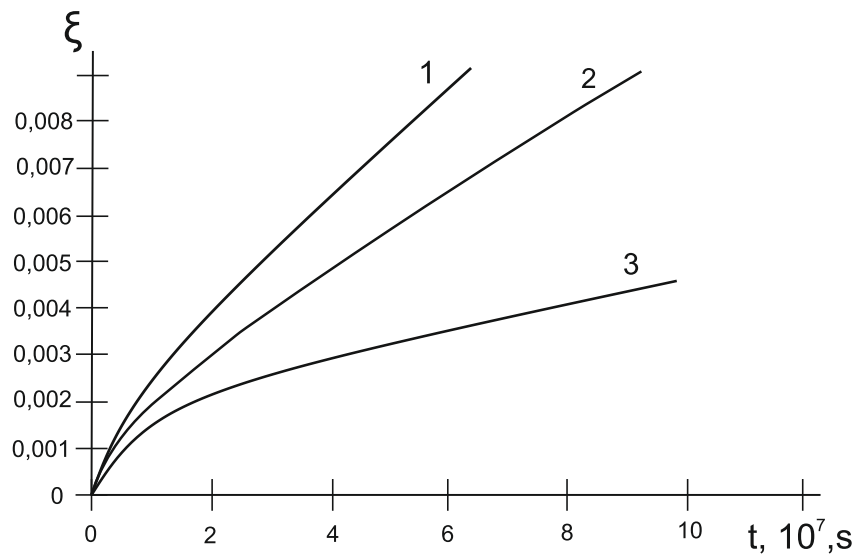
$$A_{NN} = \frac{n_- M_-}{\rho_-} \left(\gamma + \frac{9}{2} k^- (A^-)^2 - \frac{k^+}{2} (3A^+ - \vartheta^{tr})^2 - 24\mu^+ \left(\frac{B^+}{a^3} \right)^2 + 9k^- A^- (A^+ - A^-) \right) + n_* RT \ln \frac{c}{c_*}$$

Радиальная скорость фронта химической реакции:

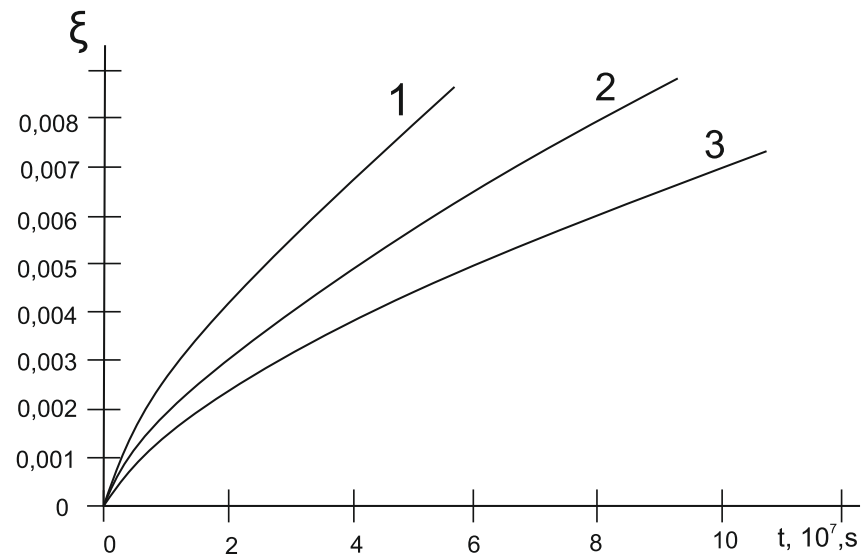
$$\dot{\xi} = \frac{n_- M_-}{\rho_-} \cdot \frac{k_* n_* c_*}{1 + n_*^2 k_* \left(\frac{1 - \xi}{\alpha} + \frac{\xi}{D} \right) (1 - \xi)} \left(1 - \exp \left(- \frac{n_- M_-}{\rho_- RT n_*} \left(\gamma + \frac{9}{2} k^- (A^-)^2 - \frac{k^+}{2} (3A^+ - \vartheta^{tr})^2 - 24\mu^+ \left(\frac{B^+}{a^3} \right)^2 + 9k^- A^- (A^+ - A^-) \right) \right) \right)$$



Зависимость кинетики фронта химической реакции от величины внешнего напряжения и от энергетического параметра γ

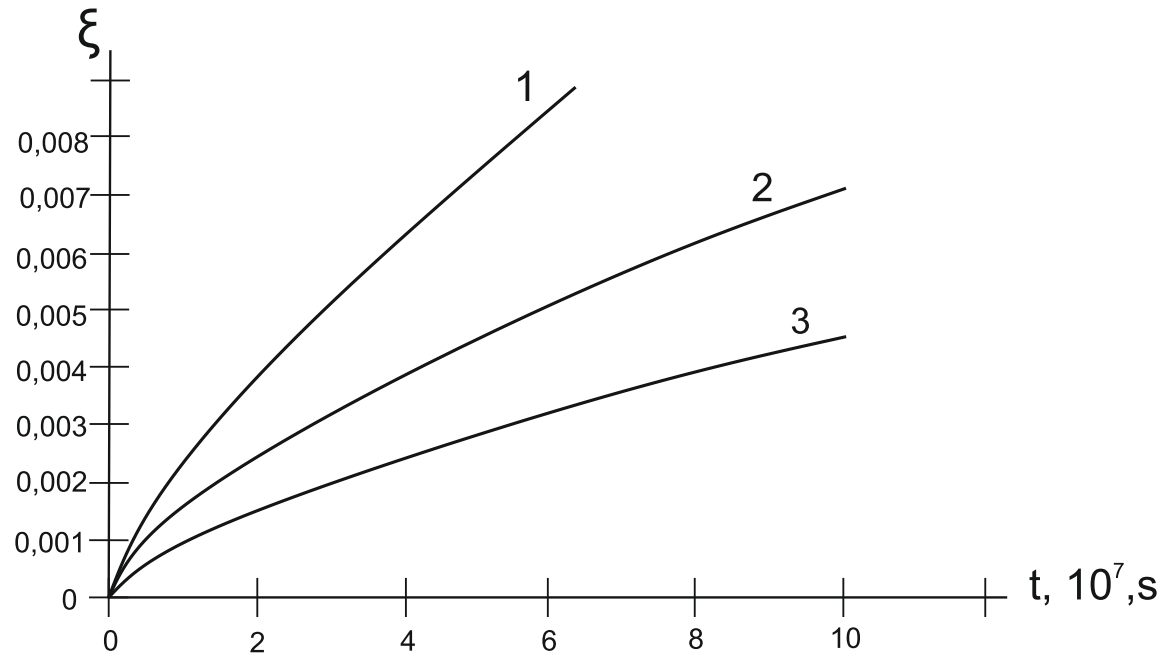


- 1 – $\sigma_0 = 10 Pa$
- 2 – $\sigma_0 = 0 Pa$
- 3 – $\sigma_0 = -10 Pa$



- 1 – $\gamma = 10^{10}$
- 2 – $\gamma = 10^8$
- 3 – $\gamma = 10^7$

Зависимость кинетики фронта химической реакции от величины коэффициента вязкости



- 1 – $\eta = 10^9 \text{ Pa} \cdot \text{s}$
- 2 – $\eta = 10^{11} \text{ Pa} \cdot \text{s}$
- 3 – $\eta = 5 \cdot 10^{12} \text{ Pa} \cdot \text{s}$